

Краевая научно-практическая конференция  
учебно-исследовательских работ учащихся 6-11 классов  
«Прикладные и фундаментальные вопросы математики»

Математическое моделирование

**Математическая модель динамики эпидемии сетевых червей**

Никулин Денис Вениаминович,  
11 кл., МБОУ Лицей №1, г. Пермь,  
Лихачев Арсений Алексеевич  
11 кл., МБОУ Лицей №1, г. Пермь,  
Никитюк Александр Сергеевич,  
учитель информатики,  
аспирант ИМСС УрО РАН.

Пермь, 2016

## Оглавление

Введение.....	3
Концептуальная постановка(SIS модель).....	4
Математическая постановка(SIS модель).....	5
Результат SIS модели.....	6
Итоги (SIS модель).....	7
Концептуальная постановка (SIR модель (1)).....	8
Математическая постановка (SIR модель(1)).....	8
Результаты (SIR модель (1)).....	9
Итоги (SIR модель (1)).....	9
Математическая постановка (SIR модель(2)).....	10
Результат (SIR модель(2)) .....	11
Итоги (SIR модель(2)).....	12
Заключение .....	13

## Введение

Целью работы является разработка математической модели, которая позволит нам изучить динамику эпидемии сетевых червей и оценить степень угрозы на различных стадиях.

Модель должна позволять:

- Предсказывать время распространения сетевых червей в определенной сети
- Определить количество зараженных хостов за время эпидемии

Исходные данные:

- Количество зараженных хостов и хостов находящихся под угрозой заражения.
- Скорость распространения сетевых червей
- Скорость обнаружения зараженных хостов
- Скорость излечения зараженных хостов
- Время «жизни» сетевого червя

## Концептуальная постановка(SIS модель)

Для решения поставленной задачи достаточно исследовать математическую модель эпидемии сетевых червей.

### Гипотезы

- Объектом исследования является эпидемия сетевых червей
- Предметной областью анной задачи является информационная защита
- Эпидемия происходит в сети состоящих из  $N$  хостов.
- Рассматриваем один тип сетевого червя
- Скорость заражения хоста примерно  $V_s$ (из жизни)
- Топология сети : полносвязная
- Каждый хост может находиться в двух состояниях( уязвим к заражению, заражен)
- Всеми внешними воздействиями мы пренебрегаем

## Математическая постановка(SIS модель)

Введем переменную  $b$ , которая будет означать скорость заражения 1 хоста. В нашем случае она будет определяться формулой:

$b = V_s * N / N_{ip} (1)$ , где  $N_{ip}$  – размер адресного пространства, в спецификации протокола IP4  $N_{ip}=2^{32}$ .

Для описания динамики доли инфицированных хостов введем переменные  $i = I / N (2)$  и  $s = S / N (3)$

Уравнение для описания динамики доли инфицированных хостов будет выглядеть следующим образом:

$$di / dt = b * (1 - i) * i (4)$$

Для реализации моделей такого типа мы используем численный метод Эйлера:

$$i(t+dt) = i(t) + (1-i(t))*b*dt$$

**Исходные данные:**

$N_{ip} = 2^{32}$ ; максимальное кол-во хостов в сети по протоколу IP4

$N = 2^{16}$ ; кол-во хостов в сети

$V_s = 2^{11} = 4$ ; скорость сканирования червем сети

$dt = 10$ ; промежутки времени

$I = 4$ ; начальное количество инфицированных хостов

$b = 3.051757$ ; скорость заражения хостов

## Результат SIS модели

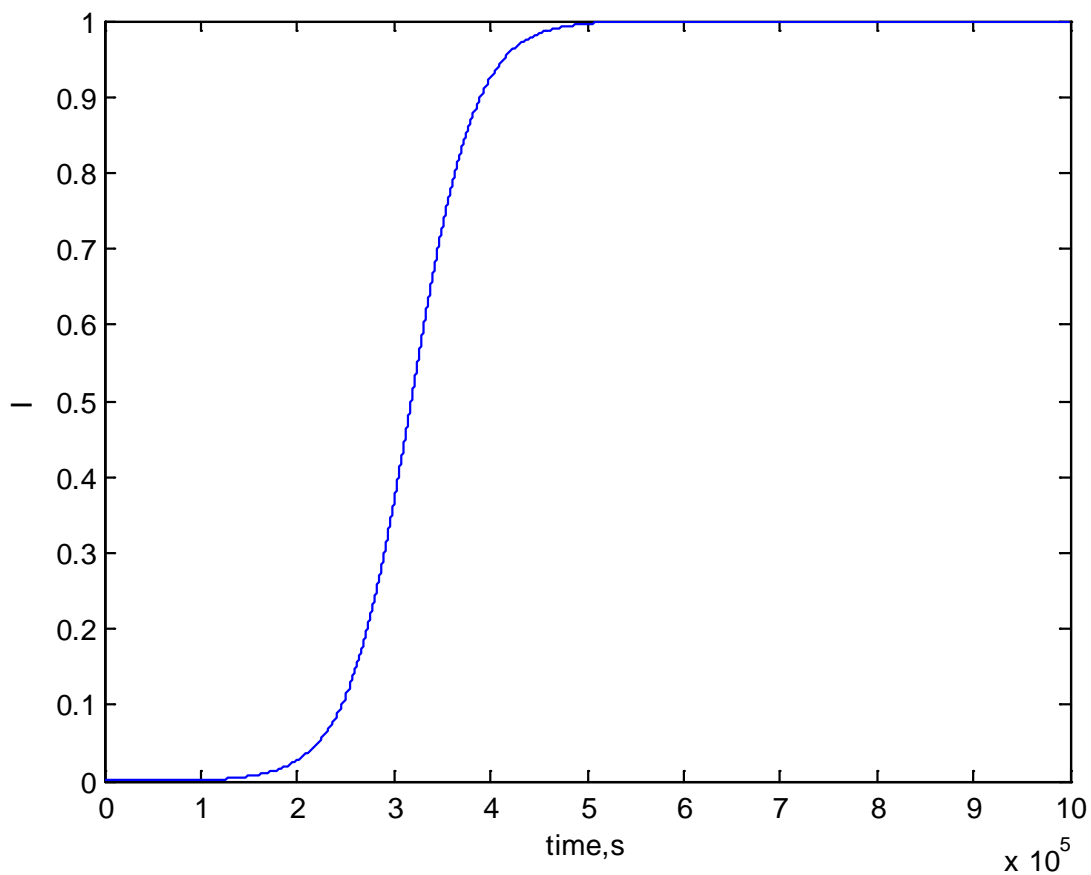


Рис. 1 График зависимости динамики заражения от времени

## Итоги (SIS модель)

Динамика функции характеризуется тремя четко различимыми этапами :

- 1-й этап – медленное нарастание доли зараженных хостов ( до  $i=0.05$ )
- 2-й этап – взрыв эпидемии ,очень быстрый рост доли зараженных хостов ( до  $i=0.95$ )
- 3-й этап – насыщение при котором инфицированные хосты чаще взаимодействуют друг с другом чем с чистыми ,из-за чего хосты могут оставаться чистыми неопределенно долгий промежуток времени

## Концептуальная постановка (SIR модель (1))

### Модифицируем нашу модель

- Каждый хост может находиться в трех состояниях ( уязвимый(S), инфицированный(I), неязвимый(R) )
- Все хосты (N) состоят из уязвимых(S) ,инфицированных(I) и неязвимых(R)

### Математическая постановка (SIR модель(1))

Введем переменную для обозначения доли неязвимых хостов :

$$r = R / N (5)$$

Вводим среднюю скорость «иммунизации» хостов внутри сети и обозначаем ее переменной  $y$

Составим модель на основе данной системы уравнений :

$$ds / dt = -b * i * s (6),$$

$$di / dt = b * i * s - y * i (7),$$

$$dr / dt = y * i (8).$$

Также для начала эпидемии в данной математической модели необходимо выполнение условия :

$$s(0) > y / b$$

### Исходные данные:

$y = 3.051757$ ; скорость иммунизации хостов

$R = 100$ ; начальное количество неязвимых хостов

$I = 2000$ ; начальное количество инфицированных хостов

$S = 63436$ ; начальное количество уязвимых хостов

$b = 9.765625$ ; скорость заражения хостов

## Результаты (SIR модель (1))

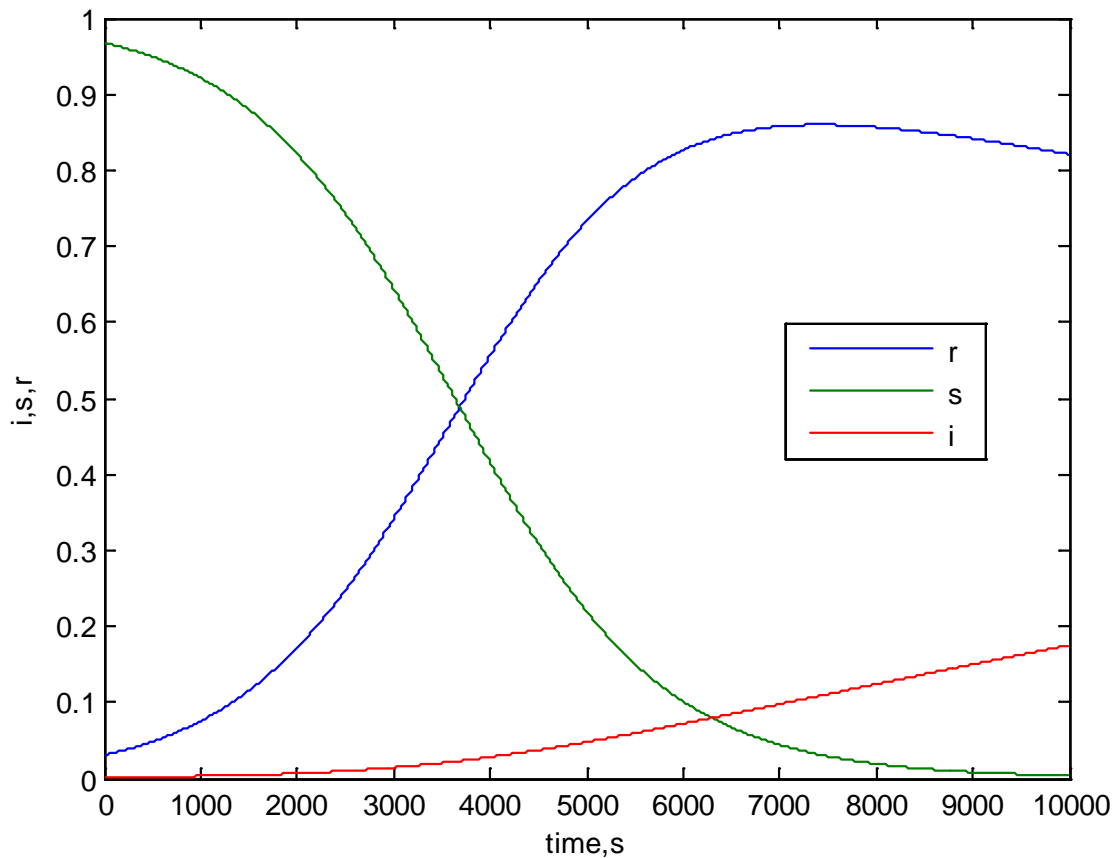


Рис.2 График зависимости доли инфицированных хостов от времени, доли неуязвимых хостов от времени, долю уязвимых к заражению хостов от времени

## Итоги (SIR модель (1))

Мы можем наблюдать, что доля уязвимых хостов ( $s$ ) уменьшается со временем, уменьшается и достигает 0, в то время как доля неуязвимых ( $r$ ) резко возрастает, однако, через некоторое время начинается медленное уменьшение этой доли. Доля инфицированных узлов ( $i$ ) медленно возрастает.

## Математическая постановка (SIR модель(2))

Далее нашу модель можно улучшить путем добавления в нее переменного число узлов

Так как в нашу модель добавилось переменное число узлов ,то добавим скорость прироста новых уязвимых хостов (S) и назовем ее  $a$

Тогда наша система приобретет следующий вид :

$$ds / dt = - b * i * s - (y + a) * s + a \quad (9),$$

$$di / dt = b * i * s - (y + a) * i \quad (10),$$

$$dr / dt = y * (1 - r) - a * r \quad (11).$$

А условие развития эпидемии принимает вид :

$$s > (y + a) / b$$

**Исходные данные:**

Используются те же данные что и в SIR модели (1)

$a = 3.051757$ ; скорость прироста новых уязвимых хостов

## Результат (SIR модель(2))

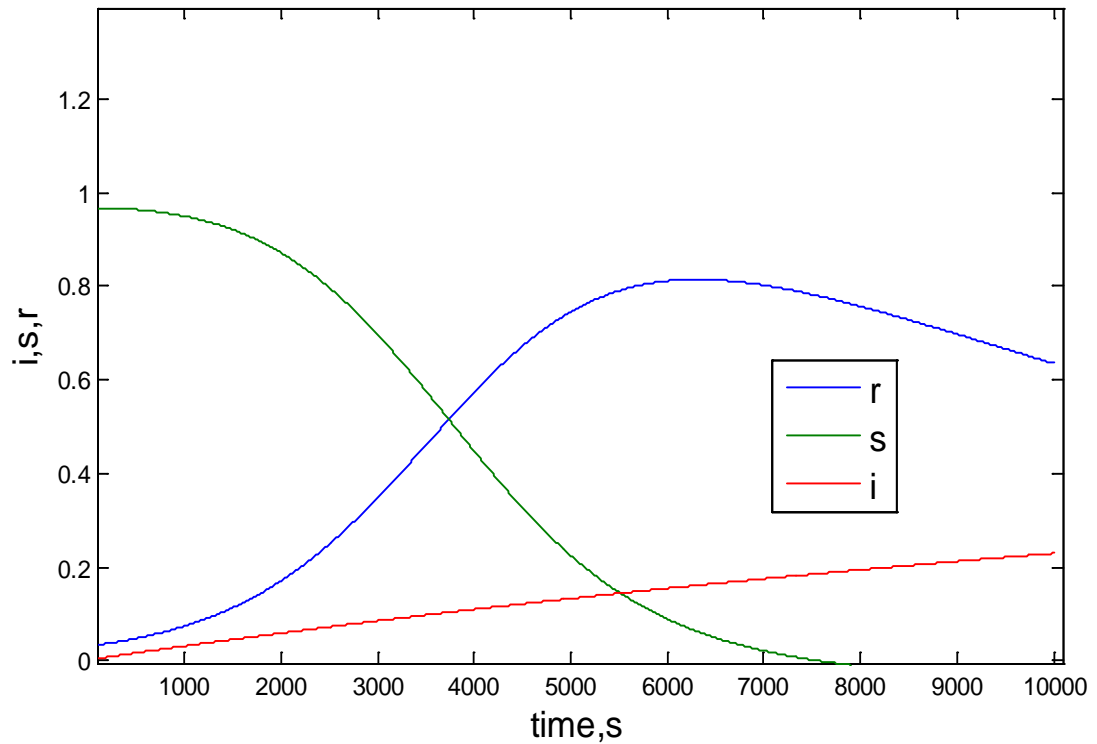


Рис.3 График зависимости доли инфицированных хостов от времени, доли неязвимых хостов от времени, долю уязвимых к заражению хостов от времени, все это с учетом присоединения новых хостов, которые уязвимы к заражению

## Итоги (SIR модель(2))

Как и в случае с SIR моделью (1) доля уязвимых хостов( $s$ ) снижаясь достигает 0

Также ,в отличие от не модифицированной модели , происходит более резкое увеличение доли неуязвимых хостов( $r$ ) ,но и более быстрое начало ее снижения.

Далее ,мы видим что происходит более резкое увеличение доли инфицированных хостов( $i$ ) .

## Заключение

Нам удалось реализовать несколько моделей эпидемий сетевых червей, но для них мы не использовали определенный тип сетевого червя, мы занимались только отладкой получившихся моделей. С использованием этих моделей нам удалось получить, несколько зависимостей распространения в сети червя за определенный отрезок времени - это доказывает что модели, которые мы реализовали, отлажены.